

Descomposición Tensorial y sus Aplicaciones en Procesamiento de Imágenes

Juan Pablo Soto Quirós

Escuela de Matemática

Instituto Tecnológico de Costa Rica

jusoto@tec.ac.cr

Coloquios Virtuales de Matemática Aplicada

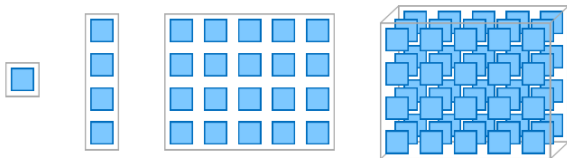
18 de Octubre de 2021

- 1 Parte 1: Conceptos Básicos
- 2 Parte 2: Operaciones Tensoriales
- 3 Parte 3: Descomposición Tensorial
- 4 Parte 4: Aplicaciones en Imágenes
- 5 Parte 5: Referencias Bibliográficas

- 1 Parte 1: Conceptos Básicos
- 2 Parte 2: Operaciones Tensoriales
- 3 Parte 3: Descomposición Tensorial
- 4 Parte 4: Aplicaciones en Imágenes
- 5 Parte 5: Referencias Bibliográficas

Tensor

- Un tensor de orden p es un arreglo multidimensional de p dimensiones.
- Si \mathcal{A} es un tensor de orden p , entonces escribiremos que $\mathcal{A} \in \mathbb{R}^{m_1 \times m_2 \times \dots \times m_p}$.
- La entrada (i_1, i_2, \dots, i_p) de un tensor \mathcal{A} se denota $\mathcal{A}(i_1, i_2, \dots, i_p)$.
- Formalmente, un tensor de orden p es un elemento del producto tensorial de p espacios vectoriales, el cual cada uno tiene su propio sistema de coordenadas.
- Un tensor es una generalización del concepto de matrices.

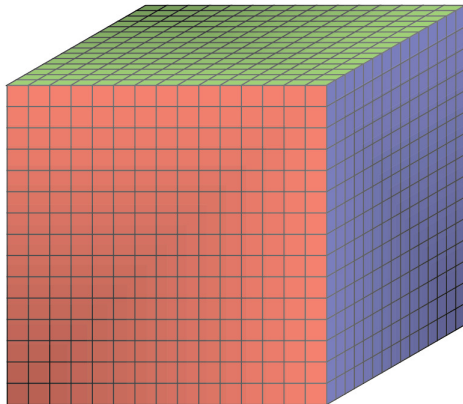


$$x \in \mathbb{R}, \mathbf{x} \in \mathbb{R}^4, \mathbf{X} \in \mathbb{R}^{4 \times 5}, \mathcal{X} \in \mathbb{R}^{4 \times 5 \times 3}$$

- El concepto de tensor en esta presentación no se debe confundir con el concepto de tensor en física e ingeniería, el cual se refiere generalmente a campos tensoriales en matemática.
- En el transcurso de esta presentación trabajaremos con tensores de entradas reales, aunque también se puede trabajar otros conjuntos (complejos).
- Tipos de Tensores:
 - Los números reales se conocen como tensores de orden 0.
 - Los vectores se conocen como tensores de orden 1.
 - Las matrices se conocen como tensores de orden 2.
 - Los tensores de orden mayor o igual a 3 se conocen como tensores de orden mayor.

Parte 1: Conceptos Básicos

- En esta presentación trabajaremos con tensores de orden 3.

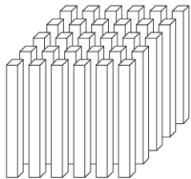


$$\mathbf{X}$$
$$[K, M, N]$$

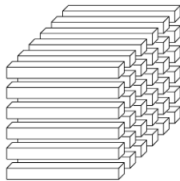
Fibras

Una fibra es un tensor de orden 1 obtenido al fijar todos salvo uno de los índices de un tensor de orden mayor.

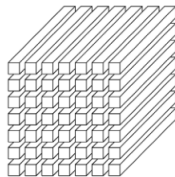
- Las fibras $\mathcal{A}(:, j, k)$ se llaman fibras de modo-1 o columnas.
- Las fibras $\mathcal{A}(i, :, k)$ se llaman fibras de modo-2 o filas.
- Las fibras $\mathcal{A}(i, j, :)$ se llaman fibras de modo-3 o tubos.



(a) Mode-1 (column) fibers: $\mathbf{x}_{:jk}$



(b) Mode-2 (row) fibers: $\mathbf{x}_{i:k}$

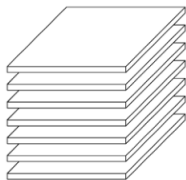


(c) Mode-3 (tube) fibers: $\mathbf{x}_{ij:}$

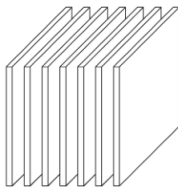
Caras (*Slices*)

A las matrices que se obtienen como subarreglos de tensores se conocen como caras o *slices*. Estas se obtienen al fijar una de las entradas del tensor.

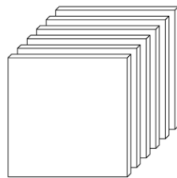
- Las caras $A(i, :, :)$ se llaman caras horizontales.
- Las caras $A(:, j, :)$ se llaman caras laterales.
- Las caras $A(:, :, k)$ se llaman caras frontales.



(a) Horizontal slices: $\mathbf{X}_{i,:}$



(b) Lateral slices: $\mathbf{X}_{:,j}$



(c) Frontal slices: $\mathbf{X}_{::k}$ (or \mathbf{X}_k)

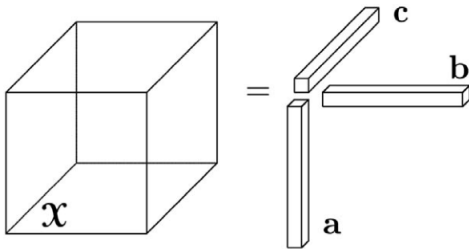
- 1 Parte 1: Conceptos Básicos
- 2 Parte 2: Operaciones Tensoriales**
- 3 Parte 3: Descomposición Tensorial
- 4 Parte 4: Aplicaciones en Imágenes
- 5 Parte 5: Referencias Bibliográficas

Producto Exterior y Tensores de Rango 1

- Sean $a \in \mathbb{R}^m$, $b \in \mathbb{R}^n$, $c \in \mathbb{R}^p$. El tensor $\mathcal{X} \in \mathbb{R}^{m \times n \times p}$ tal que $\mathcal{X}(i, j, k) = a(i) \cdot b(j) \cdot c(k)$, se conoce como un tensor de rango 1 y se denota como

$$\mathcal{X} = a \circ b \circ c,$$

donde \circ es el producto exterior.



Producto de Tensor y Matriz

- Sea $\mathcal{A} \in \mathbb{R}^{m \times n \times p}$ un tensor con caras frontales A_1, \dots, A_p . Sea $U \in \mathbb{R}^{r \times m}$. Entonces se define el tensor $\mathcal{Y} \in \mathbb{R}^{r \times n \times p}$ tal que

$$\mathcal{Y} = \mathcal{A} \times_1 U$$

como la multiplicación que genera las caras frontales $Y_j = U A_j$, para todo $j = 1, \dots, p$.

- De forma similar, se puede definir un producto de tensor y matriz, utilizando las caras laterales y horizontales.

Operaciones `bcirc`, `unfold` y `fold`

Sea $\mathcal{A} \in \mathbb{R}^{m \times n \times p}$ un tensor con caras frontales A_1, \dots, A_p . Entonces

$$\text{bcirc}(\mathcal{A}) = \begin{pmatrix} A_1 & A_p & \cdots & A_2 \\ A_2 & A_1 & \cdots & A_3 \\ \vdots & \vdots & \ddots & \vdots \\ A_p & A_{p-1} & \cdots & A_1 \end{pmatrix}.$$

$$\text{unfold}(\mathcal{A}) = \begin{pmatrix} A_1 \\ A_2 \\ \vdots \\ A_p \end{pmatrix}.$$

$$\text{fold}(\text{unfold}(\mathcal{A})) = \mathcal{A}.$$

Producto T de Tensores

Sean $\mathcal{A} \in \mathbb{R}^{m \times n \times p}$ y $\mathcal{B} \in \mathbb{R}^{n \times q \times p}$ entonces se define el producto T entre \mathcal{A} y \mathcal{B} como $\mathcal{A} * \mathcal{B} \in \mathbb{R}^{m \times q \times p}$ tal que

$$\mathcal{A} * \mathcal{B} = \text{fold}(\text{bcirc}(\mathcal{A}) \cdot \text{unfold}(\mathcal{B})).$$

Producto T de Tensores

Sean $\mathcal{A} \in \mathbb{R}^{m \times n \times p}$ y $\mathcal{B} \in \mathbb{R}^{n \times q \times p}$ entonces se define el producto T entre \mathcal{A} y \mathcal{B} como $\mathcal{A} * \mathcal{B} \in \mathbb{R}^{m \times q \times p}$ tal que

$$\mathcal{A} * \mathcal{B} = \text{fold}(\text{bcirc}(\mathcal{A}) \cdot \text{unfold}(\mathcal{B})).$$

- **Observación:** El producto T es computacionalmente costoso, ya que trabaja con matrices de bloques.
- Utilizando la transformada discreta de Fourier a los tubos de los tensores \mathcal{A} y \mathcal{B} , se puede obtener un método más eficiente para el cálculo de $\mathcal{A} * \mathcal{B}$.

Sean $\bar{\mathcal{A}} = \text{fft}(\mathcal{A}, [], 3)$ y $\bar{\mathcal{B}} = \text{fft}(\mathcal{B}, [], 3)$ dos tensores a los cuales se les aplicó la transformada discreta de Fourier a los tubos de \mathcal{A} y \mathcal{B} , respectivamente.

Algorithm 1 Tensor-Tensor Product [4]

Input: $\mathcal{A} \in \mathbb{R}^{n_1 \times n_2 \times n_3}$, $\mathcal{B} \in \mathbb{R}^{n_2 \times l \times n_3}$.

Output: $\mathcal{C} = \mathcal{A} * \mathcal{B} \in \mathbb{R}^{n_1 \times l \times n_3}$.

1. Compute $\bar{\mathcal{A}} = \text{fft}(\mathcal{A}, [], 3)$ and $\bar{\mathcal{B}} = \text{fft}(\mathcal{B}, [], 3)$.
2. Compute each frontal slice of $\bar{\mathcal{C}}$ by

$$\bar{\mathcal{C}}^{(i)} = \begin{cases} \bar{\mathcal{A}}^{(i)} \bar{\mathcal{B}}^{(i)}, & i = 1, \dots, \lceil \frac{n_3+1}{2} \rceil, \\ \text{conj}(\bar{\mathcal{C}}^{(n_3-i+2)}), & i = \lceil \frac{n_3+1}{2} \rceil + 1, \dots, n_3. \end{cases}$$

3. Compute $\mathcal{C} = \text{ifft}(\bar{\mathcal{C}}, [], 3)$.
-

- 1 Parte 1: Conceptos Básicos
- 2 Parte 2: Operaciones Tensoriales
- 3 Parte 3: Descomposición Tensorial**
- 4 Parte 4: Aplicaciones en Imágenes
- 5 Parte 5: Referencias Bibliográficas

Descomposición CP

- La descomposición CP trata de expresar un tensor como la suma finita de tensores de rango 1.
- Sea $\mathcal{X} \in \mathbb{R}^{m \times n \times p}$. El objetivo de la descomposición CP es encontrar $a_j \in \mathbb{R}^m$, $b_j \in \mathbb{R}^n$, $c_j \in \mathbb{R}^p$, para $j = 1, \dots, r$, tal que

$$\mathcal{X} = \sum_{j=1}^r a_j \circ b_j \circ c_j.$$

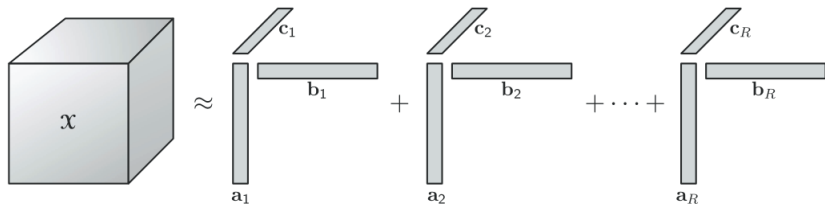
- Si r es el entero más pequeño que satisfice dicha igualdad, entonces se dice que \mathcal{X} es un tensor de rango r .

Parte 3: Descomposición Tensorial

- Dado un valor de r , este tipo de descomposición trata de encontrar los vectores a_j, b_j, c_j que minimicen el siguiente problema:

$$\min_{A,B,C} \left\| \mathcal{X} - \sum_{j=1}^r a_j \circ b_j \circ c_j \right\|_{fr}^2,$$

donde $A = [a_1 \dots a_r]$, $B = [b_1 \dots b_r]$ y $C = [c_1 \dots c_r]$.



Parte 3: Descomposición Tensorial

- La solución de dicho problema se realiza de forma iterativa.
- Sea $B^{(0)}$ y $C^{(0)}$ matrices iniciales. Entonces

$$A^{(k+1)} = \arg \min_A \|X_{(1)} - A(C^{(k)} \odot B^{(k)})\|_{fr}^2,$$

$$B^{(k+1)} = \arg \min_B \|X_{(2)} - B(C^{(k)} \odot A^{(k+1)})\|_{fr}^2,$$

$$C^{(k+1)} = \arg \min_C \|X_{(3)} - C(B^{(k+1)} \odot A^{(k+1)})\|_{fr}^2,$$

donde:

- $P \otimes Q = \begin{pmatrix} p_{11}Q & \cdots & p_{1s}Q \\ \vdots & \ddots & \vdots \\ p_{r1}Q & \cdots & p_{rs}Q \end{pmatrix}$ (Producto Kronecker)
- $P \odot Q = [p_1 \otimes q_1 \dots p_s \otimes q_s]$ (Producto Khatri-Rao)
- $X_{(1)}$, $X_{(2)}$ y $X_{(3)}$ son las representaciones matriciales de las caras horizontales, laterales y frontales, respectivamente.

- Descomposición en Valores Singulares (SVD) de Matrices

The diagram illustrates the SVD decomposition of a matrix A . On the left is a pink box representing matrix A with dimensions $n \times d$. This is followed by an equals sign. To the right are three matrices: U (a light blue box, $n \times n$), Σ (a light blue box, $n \times d$), and V^T (a light blue box, $d \times d$). The Σ matrix is shown with a pink box on top containing $\hat{\Sigma}$ and $r \times r$, and a light blue box below. The V^T matrix is shown with a pink box on top containing \hat{V}^T and $r \times d$, and a light blue box below.

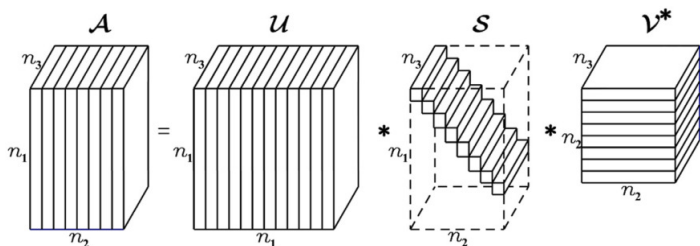
$$A \quad n \times d = U \quad n \times n \quad \Sigma \quad n \times d \quad V^T \quad d \times d$$

- Factorización QR de Matrices

The diagram illustrates the QR factorization of a matrix A . On the left is a blue box representing matrix A . This is followed by an equals sign. To the right are two matrices: Q (a blue box) and R (a blue box). The R matrix is shown as a square with a dashed border, containing a blue upper triangular region and a white lower triangular region.

$$A = Q R$$

- La T -SVD de Tensores



- La T -SVD de tensores se obtiene utilizando la transformada discreta de Fourier.

Algorithm 1: t-SVD for Third Order Tensors.

Input: $\mathcal{M} \in \mathbb{R}^{n_1 \times n_2 \times n_3}$.

Output: $\mathbf{U} \in \mathbb{R}^{n_1 \times n_1 \times n_3}$, $\mathbf{S} \in \mathbb{R}^{n_1 \times n_2 \times n_3}$,
 $\mathbf{V} \in \mathbb{R}^{n_2 \times n_2 \times n_3}$.

$\mathcal{D} \leftarrow \text{fft}(\mathcal{M}, [], 3)$

for $i = 1$ to n_3 **do**

$[\mathbf{U}, \mathbf{S}, \mathbf{V}] = \text{svd}(\mathcal{D}^{(i)})$

$\hat{\mathbf{U}}^{(i)} = \mathbf{U}$; $\hat{\mathbf{S}}^{(i)} = \mathbf{S}$; $\hat{\mathbf{V}}^{(i)} = \mathbf{V}$;

end for

$\mathbf{U} \leftarrow \text{ifft}(\hat{\mathbf{U}}, [], 3)$; $\mathbf{S} \leftarrow \text{ifft}(\hat{\mathbf{S}}, [], 3)$;

$\mathbf{V} \leftarrow \text{ifft}(\hat{\mathbf{V}}, [], 3)$

- La T -SVD de tensores se obtiene utilizando la transformada discreta de Fourier.

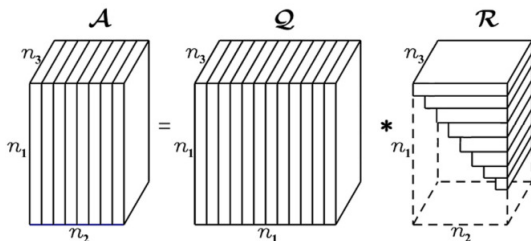
Algorithm 2. T-SVD

Input: $\mathcal{A} \in \mathbb{R}^{n_1 \times n_2 \times n_3}$.

Output: T-SVD components \mathcal{U} , \mathcal{S} and \mathcal{V} of \mathcal{A} .

1. Compute $\bar{\mathcal{A}} = \text{fft}(\mathcal{A}, [], 3)$.
 2. Compute each frontal slice of $\bar{\mathcal{U}}$, $\bar{\mathcal{S}}$ and $\bar{\mathcal{V}}$ from $\bar{\mathcal{A}}$ by
 for $i = 1, \dots, \lceil \frac{n_3+1}{2} \rceil$ **do**
 $[\bar{\mathcal{U}}^{(i)}, \bar{\mathcal{S}}^{(i)}, \bar{\mathcal{V}}^{(i)}] = \text{SVD}(\bar{\mathcal{A}}^{(i)});$
 end for
 for $i = \lceil \frac{n_3+1}{2} \rceil + 1, \dots, n_3$ **do**
 $\bar{\mathcal{U}}^{(i)} = \text{conj}(\bar{\mathcal{U}}^{(n_3-i+2)});$
 $\bar{\mathcal{S}}^{(i)} = \bar{\mathcal{S}}^{(n_3-i+2)};$
 $\bar{\mathcal{V}}^{(i)} = \text{conj}(\bar{\mathcal{V}}^{(n_3-i+2)});$
 end for
 3. Compute $\mathcal{U} = \text{ifft}(\bar{\mathcal{U}}, [], 3)$, $\mathcal{S} = \text{ifft}(\bar{\mathcal{S}}, [], 3)$, and $\mathcal{V} = \text{ifft}(\bar{\mathcal{V}}, [], 3)$.
-

- La T -QR de Tensores



- La T -QR de tensores se obtiene utilizando la transformada discreta de Fourier.

Algorithm 1 T -QR Decomposition of Tensors

Require: $\mathcal{M} \in \mathbb{R}^{n_1 \times n_2 \times n_3}$

Ensure: $\mathcal{Q} \in \mathbb{R}^{n_1 \times n_1 \times n_3}$ and $\mathcal{R} \in \mathbb{R}^{n_1 \times n_2 \times n_3}$

$\mathcal{D} = \text{fft}(\mathcal{M}, [], 3)$

for $i = 1 : n_3$ do

$[\hat{\mathcal{Q}}^{(i)}, \hat{\mathcal{R}}^{(i)}] = \text{qr}(\mathcal{D}^{(i)})$

end for

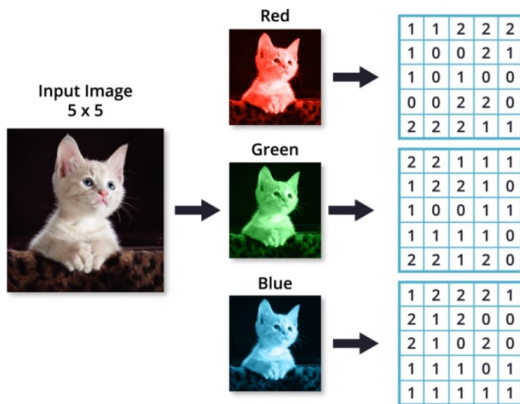
$\mathcal{Q} = \text{ifft}(\hat{\mathcal{Q}}, [], 3)$

$\mathcal{R} = \text{ifft}(\hat{\mathcal{R}}, [], 3)$

- 1 Parte 1: Conceptos Básicos
- 2 Parte 2: Operaciones Tensoriales
- 3 Parte 3: Descomposición Tensorial
- 4 Parte 4: Aplicaciones en Imágenes**
- 5 Parte 5: Referencias Bibliográficas

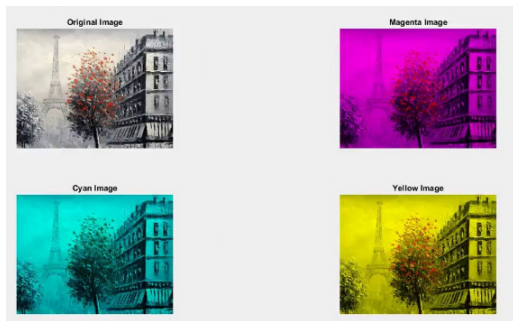
Parte 4: Aplicaciones en Imágenes

- Una imagen a color $\mathcal{I} \in \mathbb{R}^{m \times n \times p}$ se puede interpretar como un tensor de orden 3, donde las primeras dimensiones (m, n) representan el número de filas y columnas de la imagen y la tercera dimensión (p) representa el número de canales.



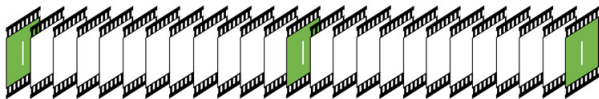
Parte 4: Aplicaciones en Imágenes

- Una imagen a color $\mathcal{I} \in \mathbb{R}^{m \times n \times p}$ se puede interpretar como un tensor de orden 3, donde las primeras dimensiones (m, n) representan el número de filas y columnas de la imagen y la tercera dimensión (p) representa el número de canales.

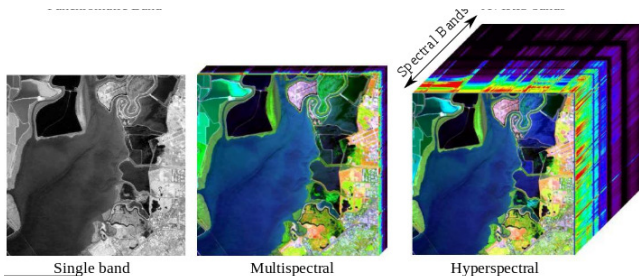


Parte 4: Aplicaciones en Imágenes

- Un video a escala de grises se puede interpretar como un tensor donde las primeras dos dimensiones es el tamaño de cada *frame* del video y la tercera dimensión es el número de frames del video.

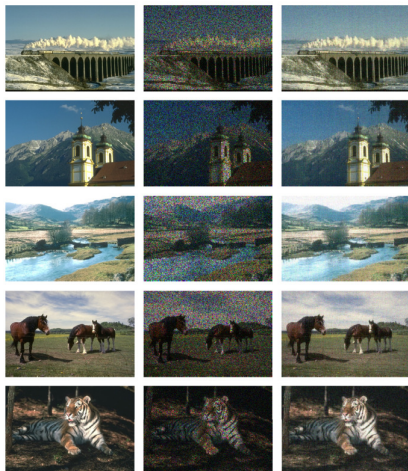


- Similarmente a los videos, el conjunto de imágenes hiperespectrales el espectro electromagnético es un tensor.



Parte 4: Aplicaciones en Imágenes

- Eliminación de ruido en imágenes.

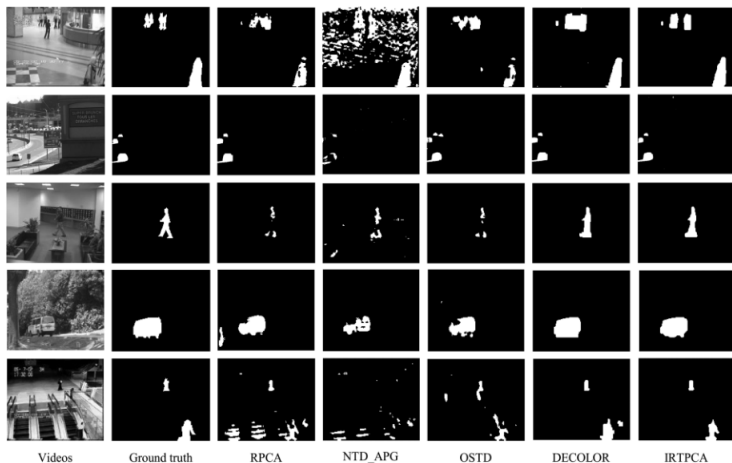


Original image

Observed image

TNN

- Detección de movimiento en videos.



Parte 4: Aplicaciones en Imágenes

- Eliminación de ruido en video.



(a) Original video

(b) Sampled video (50%)



(c) Matrix completion

(d) LRTC



(e) geomCG

(f) Our method

- Compresión de imágenes a Color, basado en el T -SVD.



Fig. 3. Color images can be approximated by low tubal rank tensors. (a) A color image can be modeled as a tensor $\mathcal{M} \in \mathbb{R}^{512 \times 512 \times 3}$; (b) approximation by a tensor with tubal rank $r = 50$; (c) plot of the singular values of \mathcal{M} .

- 1 Parte 1: Conceptos Básicos
- 2 Parte 2: Operaciones Tensoriales
- 3 Parte 3: Descomposición Tensorial
- 4 Parte 4: Aplicaciones en Imágenes
- 5 Parte 5: Referencias Bibliográficas**

Esta presentación se basó en los siguientes artículos científicos

- Kolda, T. G., & Bader, B. W. (2009). **Tensor decompositions and applications**. SIAM review, 51(3), 455-500.
- Zhang, Z., & Aeron, S. (2016). **Exact tensor completion using t-SVD**. IEEE Transactions on Signal Processing, 65(6), 1511-1526.
- Zheng, Y., & Xu, A. B. (2021). **Tensor completion via tensor QR decomposition and $L_{2,1}$ -norm minimization**. Signal Processing, 189, 108240.
- Lu, C., Feng, J., Chen, Y., Liu, W., Lin, Z., & Yan, S. (2019). **Tensor robust principal component analysis with a new tensor nuclear norm**. IEEE transactions on pattern analysis and machine intelligence, 42(4), 925-938.
- Rabanser, S., Shchur, O., & Günnemann, S. (2017). **Introduction to tensor decompositions and their applications in machine learning**. arXiv preprint arXiv:1711.10781.